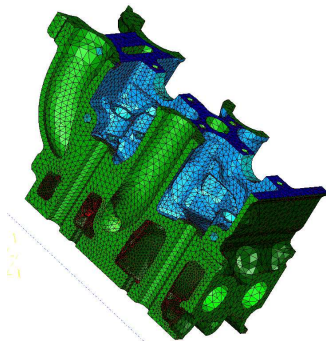


Analyse des structures mécaniques par la méthode des éléments finis



© PSA Peugeot Citroën

www.lms.polytechnique.fr/users/bonnet/enseignement.html

Département de Mécanique, Ecole Polytechnique, 2008–2009

Retour sur l'amphi 6

- ▶ Calcul élastoplastique d'une structure : combinaison **itérative** de :
 - **Etape locale** :
intégration du comportement élastoplastique sur un pas de temps (amphi 6)
 - **Procédure globale** :
incorporation dans les équations (faibles) d'équilibre et résolution (amphi 7)

Présentation restreinte au modèle élastoplastique défini par
(von Mises + écrouissage isotrope + règle de normalité)

- ▶ Formulation **implicite** de l'intégration en temps discret
- ▶ Intégration locale par l'**algorithme de retour radial**
- ▶ Erreur d'intégration en temps discret : **Ecart à la radialité**

Plan du cours

Concepts fondamentaux et leur application en élasticité linéaire statique

- ▶ Amphi 1 – Résolution approchée de problèmes d'équilibre en élasticité
- ▶ Amphi 2 – La notion d'élément fini isoparamétrique
- ▶ Amphi 3 – La méthode des éléments finis en élasticité linéaire
- ▶ Amphi 4 – Application à la mécanique linéaire de la rupture

Régime non-linéaire quasistatique, application aux solides élastoplastiques

- ▶ Amphi 5 – Calcul de solides à comportement non-linéaire
- ▶ Amphi 6 – Calcul de solides élastoplastiques 1 : aspects locaux
- ▶ **Amphi 7 – Calcul de solides élastoplastiques 2 : aspects globaux**

Régime linéaire, avec évolution temporelle

- ▶ Amphi 8 – Evolution thermique et thermoélasticité linéaire quasistatique
- ▶ Amphi 9 – Analyse dynamique des structures élastiques

Calcul de solides élastoplastiques 2 : aspects globaux

1. **Stratégie de résolution numérique**
2. **Méthode de Newton avec opérateur tangent cohérent**
 - Calcul de l'opérateur tangent local
 - Calcul de l'opérateur tangent global
 - Algorithme pour le calcul d'une structure élastoplastique
 - Difficultés liées à l'incompressibilité plastique
3. **Méthode de Newton modifiée avec direction constante**
4. **Exemple 1 : illustration des algorithmes**
5. **Exemple 2 : prototype de collecteur d'échappement**

Plan

1. Stratégie de résolution numérique

2. Méthode de Newton avec opérateur tangent cohérent

- Calcul de l'opérateur tangent local

- Calcul de l'opérateur tangent global

- Algorithme pour le calcul d'une structure élastoplastique

- Difficultés liées à l'incompressibilité plastique

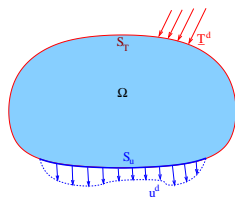
3. Méthode de Newton modifiée avec direction constante

4. Exemple 1 : illustration des algorithmes

5. Exemple 2 : prototype de collecteur d'échappement

Calcul numérique d'une structure élastoplastique : équations de base (amphi 6)

- ▶ HPP, quasistatique ;
- ▶ Chargements (lentement) évolutifs ;
- ▶ S_ξ et S_T indépendantes du temps



$$\underline{\underline{\varepsilon}} = \frac{1}{2}(\nabla \underline{u} + \nabla^T \underline{u}) \quad \text{dans } \Omega \times [0, T] \quad (\text{compatibilité})$$

$$\text{div} \underline{\underline{\sigma}} + \rho \underline{f} = \underline{0} \quad \text{dans } \Omega \times [0, T] \quad (\text{équilibre})$$

$$\underline{\underline{\sigma}} = \kappa \text{tr}(\underline{\underline{\varepsilon}}) \underline{1} + 2\mu(\underline{\underline{e}} - \underline{\underline{\varepsilon}}^P) \quad (\text{comportement, partie élastique})$$

$$\underline{\underline{\dot{\varepsilon}}}^P = \dot{p} \frac{3}{2\sigma^{\text{eq}}} \underline{\underline{s}}, \quad \dot{p} \geq 0, \quad \sigma^{\text{eq}} - R(p) \leq 0, \quad \dot{p}[\sigma^{\text{eq}} - R(p)] = 0 \quad (\text{comportement, partie plastique})$$

$$\underline{u}(\underline{x}, t) = \underline{u}^D(\underline{x}, t) \quad \text{sur } S_\xi \times [0, T] \quad (\text{déplacements imposés})$$

$$\underline{T}(\underline{x}, t) = \underline{T}^D(\underline{x}, t) \quad \text{sur } S_T \times [0, T] \quad (\text{efforts imposés})$$

$$\underline{\underline{\varepsilon}}^P(\underline{x}, 0) = \underline{0} \quad \text{dans } \Omega \quad (\text{condition initiale})$$

Principe (amphi 6) : temps discret, résolution pas à pas

Discrétisation temporelle, résolution pas à pas :



► **But de l'algorithme :**

calcul de $\mathcal{S}_n \stackrel{\text{def}}{=} \{\underline{u}_n, \underline{\varepsilon}_n, \underline{\varepsilon}_n^P, \underline{\sigma}_n \dots\}$ à chaque instant $t = t_n$

- **Approche incrémentale :** calcul de $\mathcal{S}_0, \mathcal{S}_1, \dots, \mathcal{S}_M$ de proche en proche
- Construction d'un procédé algorithmique réalisant

Connaissant \mathcal{S}_n et $(\underline{f}_{n+1}, \underline{u}_{n+1}^D, \underline{T}_{n+1}^D)$, trouver \mathcal{S}_{n+1}

Principe (amphi 6) : temps discret, résolution pas à pas

Pour traiter chaque incrément $\mathcal{S}_n \rightarrow \mathcal{S}_{n+1}$:

- Conditions d'équilibre (local + CL) : forme faible (PPV) à l'instant final $t = t_{n+1}$:

$$\int_{\Omega} \underline{\underline{\sigma}}_{n+1} : \underline{\underline{\varepsilon}}[\underline{w}] \, dV = \int_{\Omega} \rho \underline{f}_{n+1} \cdot \underline{w} \, dV + \int_{S_T} \underline{T}_{n+1}^D \cdot \underline{w} \, dS \quad \forall \underline{w} \in \mathcal{C}(0)$$

- Comportement (\mathcal{F} : action de l'algorithme de retour radial, amphi 6) :

$$\underline{\underline{\sigma}}_{n+1} = \mathcal{F}(\Delta \underline{\underline{\varepsilon}}_n; \mathcal{S}_n)$$

- Equilibre + comportement à l'instant final $t = t_{n+1}$

Inconnue principale : incrément $\Delta \underline{u}_n \stackrel{\text{déf}}{=} \underline{u}_{n+1} - \underline{u}_n$, solution (via une procédure itérative) de :

$$\text{trouver } \Delta \underline{u}_n \in \mathcal{C}(\Delta \underline{u}_n^D), \quad \mathcal{R}(\Delta \underline{u}_n; \underline{w}, \mathcal{S}_n) = 0 \quad \forall \underline{w} \in \mathcal{C}(0)$$

$$\mathcal{R}(\Delta \underline{u}_n; \underline{w}, \mathcal{S}_n) = \int_{\Omega} \mathcal{F}(\underline{\underline{\varepsilon}}[\Delta \underline{u}_n]; \mathcal{S}_n) : \underline{\underline{\varepsilon}}[\underline{w}] \, dV - \int_{\Omega} \rho \underline{f}_{n+1} \cdot \underline{w} \, dV - \int_{S_T} \underline{T}_{n+1}^D \cdot \underline{w} \, dS$$

Méthode itérative pour le problème global : principe

$$\text{trouver } \Delta \underline{u}_n \in \mathcal{C}(\Delta \underline{u}_n^D), \quad \mathcal{R}(\Delta \underline{u}_n; \underline{w}, \mathcal{S}_n) = 0 \quad \forall \underline{w} \in \mathcal{C}(\underline{0})$$

- ▶ Méthode itérative : recherche de corrections successives

$$\Delta \underline{u}_n^{(k+1)} = \Delta \underline{u}_n^{(k)} + \delta \underline{u}_n^{(k)}, \quad \text{soit } \delta \underline{u}_n^{(k)} = \Delta \underline{u}_n^{(k+1)} - \Delta \underline{u}_n^{(k)}$$

à l'aide de l'équation d'équilibre linéarisée autour de $\Delta \underline{u}_n^{(k)}$:

$$\mathcal{R}(\Delta \underline{u}_n^{(k)}; \underline{w}, \mathcal{S}_n) + \langle \mathcal{R}'(\Delta \underline{u}_n^{(k)}; \underline{w}, \mathcal{S}_n), \delta \underline{u}_n^{(k)} \rangle = 0$$

- ▶ Prise en compte des déplacements imposés : imposer

$$\delta \underline{u}_n^{(1)} \in \mathcal{C}(\Delta \underline{u}_n^D) \quad (\text{Itération 1})$$

$$\delta \underline{u}_n^{(k)} \in \mathcal{C}(\underline{0}) \quad (\text{Itérations suivantes})$$

Application linéaire tangente : deux possibilités

- (i) Méthode de Newton avec **opérateur tangent cohérent** ;

Demande le calcul de l'application linéaire tangente $\mathcal{R}'(\Delta \underline{u}_n^{(k)}; \underline{w}, \mathcal{S}_n)$.

- (ii) Méthode de Newton modifiée avec **opérateur tangent constant** ;

Approximation de $\mathcal{R}'(\Delta \underline{u}_n^{(k)}; \underline{w}, \mathcal{S}_n)$ par une application linéaire **constante**.

Méthode itérative pour le problème global : principales étapes

► **Initialisation** : $\Delta \underline{u}_n = \underline{0}$;

► **Itération 1** : décomposition

$$\delta \underline{u}_n^{(1)} = \underbrace{\delta \underline{u}_n^{(1,0)}}_{\in \mathcal{C}(\underline{0})} + \underbrace{\Delta \underline{u}_n^{(D)}}_{\in \mathcal{C}(\Delta \underline{u}_n^{(D)})}$$

Trouver $\delta \underline{u}_n^{(1,0)} \in \mathcal{C}(\underline{0})$,

$$\langle \mathcal{R}'(\underline{0}; \underline{w}, \mathcal{S}_n), \delta \underline{u}_n^{(1,0)} \rangle = -\mathcal{R}(\underline{0}; \underline{w}, \mathcal{S}_n) - \langle \mathcal{R}'(\underline{0}; \underline{w}, \mathcal{S}_n), \Delta \underline{u}_n^{(D)} \rangle \quad \forall \underline{w} \in \mathcal{C}(\underline{0})$$

► **Itérations suivantes** :

Trouver $\delta \underline{u}_n^{(k)} \in \mathcal{C}(\underline{0})$,

$$\langle \mathcal{R}'(\Delta \underline{u}_n^{(k)}; \underline{w}, \mathcal{S}_n), \delta \underline{u}_n^{(k)} \rangle = -\mathcal{R}(\Delta \underline{u}_n^{(k)}; \underline{w}, \mathcal{S}_n) \quad \forall \underline{w} \in \mathcal{C}(\underline{0})$$

► **Convergence et actualisation**

$$\Delta \underline{u}_n \approx \Delta \underline{u}_n^{(k)} \quad \text{avec } k \text{ tel que} \quad \|\mathcal{R}(\Delta \underline{u}_n^{(k)}; \underline{w}, \mathcal{S}_n)\| < \epsilon \|\mathcal{R}(\underline{0}; \underline{w}, \mathcal{S}_n)\|,$$

Méthode itérative pour le problème global : approximation par éléments finis

Maillage, approximations $\{\Delta \underline{U}_n^{(k)}\}$, $\{\delta \underline{U}_n^{(k)}\}$ (méthodes amphis 2, 3)

- **Itération générique** ($k > 1$) : Equation linéarisée de la forme

$$[\mathbb{K}_{n+1}^{(k)}] \{\delta \underline{U}_n^{(k)}\} = -\{\mathbb{R}_{n+1}^{(k)}\}$$

$$\langle \mathcal{R}'(\Delta \underline{u}_n^{(k)}; \underline{w}, \mathcal{S}_n), \delta \underline{u}_n^{(k)} \rangle \stackrel{\text{déf}}{=} \{\mathbb{W}\}^T [\mathbb{K}_{n+1}^{(k)}] \{\delta \underline{U}_n^{(k)}\}$$

$$\mathcal{R}(\Delta \underline{u}_n^{(k)}; \underline{w}, \mathcal{S}_n) \stackrel{\text{déf}}{=} \{\mathbb{W}\}^T \{\mathbb{R}_{n+1}^{(k)}\}$$

$$= \{\mathbb{W}\}^T (-\{\mathbb{F}_{n+1}^{\text{int}(k)}\} - \{\mathbb{F}_{n+1}^{\text{vol}}\} - \{\mathbb{F}_{n+1}^{\text{surf}}\})$$

$[\mathbb{K}_{n+1}^{(k)}]$: rigidité tangente élastoplastique à l'itération k .

- **Itération initiale** ($k = 1$) :

$$[\mathbb{K}_n] \{\delta \underline{U}_n^{(1)}\} = -\{\mathbb{R}_{n+1}^{(1)}\} + \{\mathbb{F}_n^{\Delta u}\}$$

$$\{\mathbb{R}_{n+1}^{(1)}\} = -\{\mathbb{F}_n^{\text{int}}\} - \{\mathbb{F}_{n+1}^{\text{vol}}\} - \{\mathbb{F}_{n+1}^{\text{surf}}\}$$

$$-\langle \mathcal{R}'(\underline{0}; \underline{w}, \mathcal{S}_n), \Delta \underline{u}_n^{(D)} \rangle \stackrel{\text{déf}}{=} \{\mathbb{W}\}^T \{\mathbb{F}_n^{\Delta u}\}$$

$[\mathbb{K}_n]$: rigidité tangente élastoplastique obtenue en fin d'incrément précédent.

Plan

1. Stratégie de résolution numérique

2. Méthode de Newton avec opérateur tangent cohérent

Calcul de l'opérateur tangent local

Calcul de l'opérateur tangent global

Algorithme pour le calcul d'une structure élastoplastique

Difficultés liées à l'incompressibilité plastique

3. Méthode de Newton modifiée avec direction constante

4. Exemple 1 : illustration des algorithmes

5. Exemple 2 : prototype de collecteur d'échappement

Méthode de Newton avec opérateur tangent cohérent

$$\mathcal{R}(\Delta \underline{u}_n; \underline{w}, \mathcal{S}_n) = \int_{\Omega} \mathcal{F}(\underline{\underline{\varepsilon}}[\Delta \underline{u}_n]; \mathcal{S}_n) : \underline{\underline{\varepsilon}}[\underline{w}] \, dV - \int_{\Omega} \rho \underline{f}_{n+1} \cdot \underline{w} \, dV - \int_{S_T} \underline{T}_{n+1}^D \cdot \underline{w} \, dS$$

- ▶ Application linéaire tangente globale \mathcal{R}' définie par :

$$\mathcal{R}(\underline{v} + \underline{z}; \underline{w}, \mathcal{S}_n) - \mathcal{R}(\underline{v}; \underline{w}, \mathcal{S}_n) = \langle \mathcal{R}'(\underline{v}; \underline{w}, \mathcal{S}_n), \underline{z} \rangle + o(\|\underline{z}\|)$$

- ▶ Application linéaire tangente locale associée à \mathcal{F} :

$$\underbrace{\mathcal{F}(\Delta \underline{\underline{\varepsilon}} + \delta \underline{\underline{\varepsilon}}; \mathcal{S}_n) - \mathcal{F}(\Delta \underline{\underline{\varepsilon}}; \mathcal{S}_n)}_{\langle \mathcal{F}'(\Delta \underline{\underline{\varepsilon}}; \mathcal{S}_n), \delta \underline{\underline{\varepsilon}} \rangle + o(\|\delta \underline{\underline{\varepsilon}}\|)} = \frac{\partial \sigma_{n+1}}{\partial \Delta \underline{\underline{\varepsilon}}}(\Delta \underline{\underline{\varepsilon}}; \mathcal{S}_n) : \delta \underline{\underline{\varepsilon}} + o(\|\delta \underline{\underline{\varepsilon}}\|)$$

$$\stackrel{\text{déf}}{=} \mathcal{A}^{\text{EP}}(\Delta \underline{\underline{\varepsilon}}; \mathcal{S}_n) : \delta \underline{\underline{\varepsilon}} + o(\|\delta \underline{\underline{\varepsilon}}\|)$$

- ▶ Le tenseur d'ordre 4 $\mathcal{A}^{\text{EP}}(\Delta \underline{\underline{\varepsilon}}_n^{(k)}; \mathcal{S}_n)$ est appelé **opérateur tangent local**
- ▶ Expression de l'application linéaire tangente globale :

$$\langle \mathcal{R}'(\Delta \underline{u}_n^{(k)}; \underline{w}, \mathcal{S}_n), \delta \underline{u}_n^{(k)} \rangle = \int_{\Omega} \underline{\underline{\varepsilon}}[\delta \underline{u}_n^{(k)}] : \mathcal{A}^{\text{EP}}(\Delta \underline{\underline{\varepsilon}}_n^{(k)}; \mathcal{S}_n) : \underline{\underline{\varepsilon}}[\underline{w}] \, dV$$

Plan

1. Stratégie de résolution numérique
- 2. Méthode de Newton avec opérateur tangent cohérent**
 - Calcul de l'opérateur tangent local
 - Calcul de l'opérateur tangent global
 - Algorithme pour le calcul d'une structure élastoplastique
 - Difficultés liées à l'incompressibilité plastique
3. Méthode de Newton modifiée avec direction constante
4. Exemple 1 : illustration des algorithmes
5. Exemple 2 : prototype de collecteur d'échappement

Calcul de l'opérateur tangent local

$$\mathcal{A}^{\text{EP}}(\Delta_{\underline{\underline{\varepsilon}}_n}^{(k)}; \mathcal{S}_n) \stackrel{\text{déf}}{=} \frac{\partial \mathcal{F}}{\partial \Delta_{\underline{\underline{\varepsilon}}_n}}(\Delta_{\underline{\underline{\varepsilon}}_n}^{(k)}; \mathcal{S}_n)$$

Evolution de la contrainte (amphi 6) :

$$\underline{\underline{\sigma}}_{n+1} = \mathcal{F}(\Delta_{\underline{\underline{\varepsilon}}_n}; \mathcal{S}_n) = \underbrace{\underline{\underline{\sigma}}_n}_{\underline{\underline{\sigma}}_{n+1}^{\text{elas}}} + \mathcal{A} : \Delta_{\underline{\underline{\varepsilon}}_n} - 2\mu \Delta_{\underline{\underline{\varepsilon}}_n}^{\text{P}}$$

(a) Evolution élastique de la contrainte ($\Delta_{\underline{\underline{\varepsilon}}_n}^{\text{P}} = \underline{\underline{0}}$)

$$\underline{\underline{\sigma}}_{n+1} = \underline{\underline{\sigma}}_{n+1}^{\text{elas}}, \quad \Delta p_n = 0, \quad \text{et donc} \quad \frac{\partial \mathcal{F}}{\partial \Delta_{\underline{\underline{\varepsilon}}_n}}(\Delta_{\underline{\underline{\varepsilon}}_n}; \mathcal{S}_n) = \mathcal{A}$$

(b) Evolution élastoplastique de la contrainte ($\Delta_{\underline{\underline{\varepsilon}}_n}^{\text{P}} \neq \underline{\underline{0}}$)

$$\frac{\partial \mathcal{F}}{\partial \Delta_{\underline{\underline{\varepsilon}}_n}}(\Delta_{\underline{\underline{\varepsilon}}_n}; \mathcal{S}_n) = \mathcal{A} - 2\mu \frac{\partial \Delta_{\underline{\underline{\varepsilon}}_n}^{\text{P}}}{\partial \Delta_{\underline{\underline{\varepsilon}}_n}} \stackrel{\text{déf}}{=} \mathcal{A} - \mathcal{D}$$

Calcul de la « correction plastique » \mathcal{D}

$$\frac{\partial \underline{\sigma}_{n+1}}{\partial \Delta \underline{\varepsilon}_n} = \mathcal{A} - \mathcal{D} \quad \text{avec} \quad \mathcal{D} = 2\mu \frac{\partial \Delta \underline{\varepsilon}_n^p}{\partial \Delta \underline{\varepsilon}_n} = 3\mu \frac{\partial}{\partial \Delta \underline{\varepsilon}_n} \left(\frac{\Delta p_n}{\sigma_{n+1}^{\text{elas,eq}}} \underline{s}_{n+1}^{\text{elas}} \right) \quad (\text{amphi 6})$$

Calcul des dérivées de (i) $\underline{s}_{n+1}^{\text{elas}}$, (ii) $\sigma_{n+1}^{\text{elas,eq}}$ et (iii) Δp_n :

$$(i) \quad \underline{s}_{n+1}^{\text{elas}} \stackrel{\text{déf}}{=} \underline{\sigma}_n + 2\mu \Delta \underline{e}_n \quad \Longrightarrow \quad \frac{\partial}{\partial \Delta \underline{\varepsilon}_n} \underline{s}_{n+1}^{\text{elas}} = 2\mu \mathcal{K}$$

avec \mathcal{K} : projection sur le sous-espace des déviateurs, exemple $\Delta \underline{e} = \mathcal{K} : \Delta \underline{\varepsilon}$

$$(ii) \quad \sigma_{n+1}^{\text{elas,eq}} = \sqrt{\frac{3}{2}} (\underline{s}_{n+1}^{\text{elas}} : \underline{s}_{n+1}^{\text{elas}})^{1/2} \quad \Longrightarrow \quad \frac{\partial \sigma_{n+1}^{\text{elas,eq}}}{\partial \Delta \underline{\varepsilon}_n} = \frac{3\mu}{\sigma_{n+1}^{\text{elas,eq}}} \underline{s}_{n+1}^{\text{elas}}$$

$$(iii) \quad \frac{\partial}{\partial \Delta \underline{\varepsilon}_n} \{ \sigma_{n+1}^{\text{elas,eq}} - 3\mu \Delta p_n - R(p_n + \Delta p_n) = 0 \}$$

$$\Longrightarrow \quad \frac{\partial \Delta p_n}{\partial \Delta \underline{\varepsilon}_n} = \frac{3\mu}{3\mu + R'_{n+1}} \frac{1}{\sigma_{n+1}^{\text{elas,eq}}} \underline{s}_{n+1}^{\text{elas}}$$

avec $R'_{n+1} = R'(p_{n+1}) = R'(p_n + \Delta p_n)$

Calcul de la « correction plastique » \mathcal{D}

$$\frac{\partial}{\partial \Delta \underline{\underline{\varepsilon}}_n} \underline{\underline{s}}_{n+1}^{\text{elas}} = 2\mu \mathcal{K}, \quad \frac{\partial \sigma_{n+1}^{\text{elas,eq}}}{\partial \Delta \underline{\underline{\varepsilon}}_n} = \frac{3\mu}{\sigma_{n+1}^{\text{elas,eq}}} \underline{\underline{s}}_{n+1}^{\text{elas}}, \quad \frac{\partial \Delta p_n}{\partial \Delta \underline{\underline{\varepsilon}}_n} = \frac{3\mu}{3\mu + R'_{n+1}} \frac{1}{\sigma_{n+1}^{\text{elas,eq}}} \underline{\underline{s}}_{n+1}^{\text{elas}}$$

- L'application de ces identités au calcul de

$$\mathcal{D} = 3\mu \frac{\partial}{\partial \Delta \underline{\underline{\varepsilon}}_n} \left(\frac{\Delta p_n}{\sigma_{n+1}^{\text{elas,eq}}} \underline{\underline{s}}_{n+1}^{\text{elas}} \right)$$

donne le résultat

$$\mathcal{D} = \mathcal{D}(\Delta \underline{\underline{\varepsilon}}_n; \underline{\underline{s}}_n) = 3\mu(\gamma - \beta) \left(\frac{\underline{\underline{s}}_{n+1}^{\text{elas}}}{\sigma_{n+1}^{\text{elas,eq}}} \otimes \frac{\underline{\underline{s}}_{n+1}^{\text{elas}}}{\sigma_{n+1}^{\text{elas,eq}}} \right) + 2\mu\beta \mathcal{K}$$

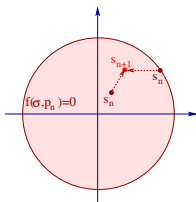
$$\beta = \frac{3\mu \Delta p_n}{\sigma_{n+1}^{\text{elas,eq}}} = 1 - \frac{R_{n+1}}{\sigma_{n+1}^{\text{elas,eq}}} \quad \gamma = \frac{3\mu}{3\mu + R'_{n+1}}$$

- « correction plastique » \mathcal{D} : tenseur d'ordre 4, mêmes symétries que \mathcal{A}

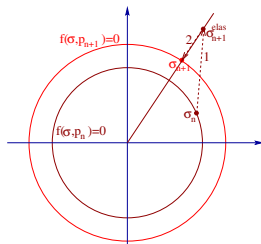
Opérateur tangent local \mathcal{A}^{EP} : synthèse

$$\mathcal{A}^{\text{EP}}(\Delta \underline{\underline{\varepsilon}}_n, \mathcal{S}_n) = \begin{cases} \mathcal{A} & \text{si } f_{n+1}^{\text{elas}} < 0 \text{ (évolution élastique)} \\ \mathcal{A} - \mathcal{D}(\Delta \underline{\underline{\varepsilon}}_n^{(k)}; \mathcal{S}_n) & \text{si } f_{n+1}^{\text{elas}} > 0 \text{ (évolution élastoplastique)} \end{cases}$$

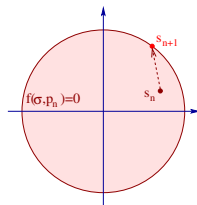
- ▶ $\mathcal{F}(\Delta \underline{\underline{\varepsilon}}_n, \mathcal{S}_n)$ **différentiable** par rapport à $\Delta \underline{\underline{\varepsilon}}_n$ si
 - (i) $f_{n+1}^{\text{elas}} < 0$ (σ_{n+1} dans le domaine d'élasticité); ou
 - (ii) $f_{n+1}^{\text{elas}} > 0$ (évolution élastoplastique avec $\Delta p_n \neq 0$).
- ▶ $\mathcal{F}(\Delta \underline{\underline{\varepsilon}}_n, \mathcal{S}_n)$ **non différentiable** par rapport à $\Delta \underline{\underline{\varepsilon}}_n$ si
 - (iii) $f_{n+1}^{\text{elas}} = 0$ avec $\Delta p_n = 0$ (situation-limite de « charge neutre »).



(i)

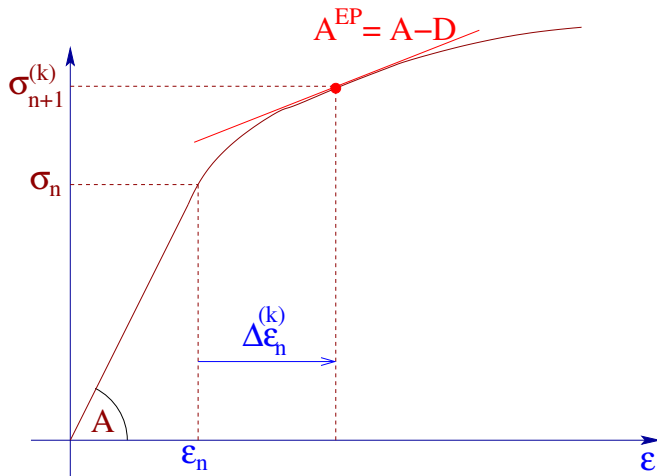


(ii)



(iii)

Opérateur tangent local \mathcal{A}^{EP} : interprétation



Plan

1. Stratégie de résolution numérique

2. Méthode de Newton avec opérateur tangent cohérent

Calcul de l'opérateur tangent local

Calcul de l'opérateur tangent global

Algorithme pour le calcul d'une structure élastoplastique

Difficultés liées à l'incompressibilité plastique

3. Méthode de Newton modifiée avec direction constante

4. Exemple 1 : illustration des algorithmes

5. Exemple 2 : prototype de collecteur d'échappement

Calcul pratique de $[\mathbb{K}_{n+1}^{(k)}]$

- ▶ Utiliser procédure d'assemblage de $[\mathbb{K}]$ avec \mathcal{A} remplacé par $\mathcal{A}-\mathcal{D}$
- ▶ Notation de Voigt (pour la programmation) :

$$[A^{EP}] = [A] - [D] \quad \text{avec} \quad [D] = \frac{3\mu(\gamma - \beta)}{(\sigma^{\text{elas,eq}})^2} \{s^{\text{elas}}\} \{s^{\text{elas}}\}^T + 2\mu\beta[\mathcal{K}]$$

avec

$$\underline{\underline{\mathcal{K}}} : \underline{\underline{\varepsilon}} = [\mathcal{K}]\{\varepsilon\} \quad \text{où} \quad [\mathcal{K}] = \begin{bmatrix} 2/3 & -1/3 & -1/3 & 0 & 0 & 0 \\ -1/3 & 2/3 & -1/3 & 0 & 0 & 0 \\ -1/3 & -1/3 & 2/3 & 0 & 0 & 0 \\ 0 & 0 & 0 & 1/2 & 0 & 0 \\ 0 & 0 & 0 & 0 & 1/2 & 0 \\ 0 & 0 & 0 & 0 & 0 & 1/2 \end{bmatrix}$$

$$\{s\} = \{\sigma\} - \frac{1}{3}(\sigma_{11} + \sigma_{22} + \sigma_{33})\{1 \ 1 \ 1 \ 0 \ 0 \ 0\}^T$$

$$\sigma^{\text{eq}} = \left[\frac{3}{2}(s_{11}^2 + s_{22}^2 + s_{33}^2) + 3s_{12}^2 + 3s_{13}^2 + 3s_{23}^2 \right]^{1/2}$$

- ▶ $[D]$ dépend du point à travers $(S_n, \Delta \underline{\underline{\varepsilon}}_n)$.
- ▶ $[D] = [0]$ en tout point t.q. l'évolution déduite de $\Delta \underline{\underline{u}}_n^{(k+1)}$ est élastique.

Plan

1. Stratégie de résolution numérique

2. Méthode de Newton avec opérateur tangent cohérent

Calcul de l'opérateur tangent local

Calcul de l'opérateur tangent global

Algorithme pour le calcul d'une structure élastoplastique

Difficultés liées à l'incompressibilité plastique

3. Méthode de Newton modifiée avec direction constante

4. Exemple 1 : illustration des algorithmes

5. Exemple 2 : prototype de collecteur d'échappement

Algorithme pour le calcul d'une structure élastoplastique

- ▶ **Chaque itération de la méthode de Newton consiste principalement à**
 - (i) Annuler le résidu linéarisé autour de $\{\mathbb{U}_{n+1}^{(k)}\}$ par rapport à $\{\delta\mathbb{U}_n^{(k)}\}$;
 - (ii) Faire l'actualisation $\{\Delta\mathbb{U}_n^{(k+1)}\} = \{\Delta\mathbb{U}_n^{(k)}\} + \{\delta\mathbb{U}_n^{(k)}\}$;
 - (iii) Calculer la nouvelle matrice tangente cohérente $[\mathbb{K}_{n+1}^{(k)}]$

- ▶ **Présentation de ces étapes à l'aide de quatre niveaux d'algorithmes :**

Niveau 1

Procédure complète de calcul incrémental-itératif, au niveau de la structure;

Niveau 2 (appelé une fois par itération par l'algorithme 1) :

Calcul de grandeurs globales : rigidité tangente, forces nodales.

Niveau 3 (appelé pour chaque élément par l'algorithme 2) :

Calcul des contraintes et variables internes sur l'élément;

Calcul des contributions élémentaires (rigidité tangente, forces nodales).

Niveau 4 (appelé pour chaque point de Gauss par l'algorithme 3) :

Intégration locale du comportement (algorithme de retour radial);

Calcul des modules tangents locaux.

Niveau 1 : calcul incrémental/itératif d'un solide élastoplastique

Données : maillage ; instants t_0, \dots, t_M , comportement, chargements, tolérance ϵ .

(a) Initialisation générale ($t = 0$) :

(i) Conditions initiales (par ex. =0) : $\{\mathbf{U}_0\}, \{\boldsymbol{\sigma}_0\}, \{p_0\}, \{\underline{\underline{\epsilon}}_0^P\}$;

(ii) Initialisation : $\{\mathbb{F}^{\text{int}}\} = \{\mathbf{0}\}$

Assemblage (élasticité linéaire) : $[\mathbb{K}^{\text{EP}}] = [\mathbb{K}], \{\mathbb{F}^{\Delta u}\} \leftarrow \Delta \underline{u}_0^D = \underline{u}_1^D - \underline{u}_0^D$

(b) Incrémentation du chargement : pour $n = 0, 1, 2, \dots, M - 1$, faire

(i) Initialisation : $\{\Delta \mathbf{U}\} = \{\mathbf{0}\}$;

(ii) Forces nodales : $\{\mathbb{F}^{\text{ext}}\} = \{\mathbb{F}_{n+1}^{\text{vol}}\} + \{\mathbb{F}_{n+1}^{\text{surf}}\}$;

(iii) Résidu : $-\{\mathbb{R}\} = \{\mathbb{F}^{\text{int}}\} + \{\mathbb{F}^{\text{ext}}\} + \{\mathbb{F}^{\Delta \xi}\}$, $r^{\text{ref}} = \|\{\mathbb{R}\}\|$, $r = r^{\text{ref}}$;

(iv) **Itérations** : pour $k = 1, \dots$ et tant que $r > \epsilon r^{\text{ref}}$

(a) Résoudre $[\mathbb{K}^{\text{EP}}]\{\delta \mathbf{U}\} := -\{\mathbb{R}\}$; actualiser : $\{\Delta \mathbf{U}\} := \{\Delta \mathbf{U}\} + \{\delta \mathbf{U}\}$;

(b) Assembler $[K^{\text{EP}}(\Delta \mathbf{U})]$, $\{\mathbb{F}^{\text{int}}(\Delta \mathbf{U})\}$ et $\{\mathbb{F}^{\Delta u}\} \leftarrow \Delta \underline{u}_{n+1}^D$ (**Niveau 2**)

(c) Actualiser résidu : $\{\mathbb{R}\} := -\{\mathbb{F}^{\text{int}}\} - \{\mathbb{F}^{\text{ext}}\}$, $r = \|\{\mathbb{R}\}\|$.

(v) Mise à jour : $\{\mathbf{U}_{n+1}\} = \{\mathbf{U}_n\} + \{\Delta \mathbf{U}\}$, $\{\underline{\underline{\epsilon}}_{n+1}^P\} = \{\underline{\underline{\epsilon}}_n^P\} + \{\Delta \underline{\underline{\epsilon}}^P\}$.

Niveau 2 : matrice tangente élastoplastique globale, forces nodales internes et associées aux déplacements imposés

Entrées : Incréments de déplacements nodaux $\{\Delta U_n\}$ et imposés

Sorties : Matrice tangente globale $[\mathbb{K}^{EP}]$, forces nodales globales $\{\mathbb{F}^{\Delta\xi}\}$, $\{\mathbb{F}^{int}\}$.

(i) Initialisation : $[\mathbb{K}^{EP}] = [0]$, $\{\mathbb{F}^{\Delta\xi}\} = \{0\}$, $\{\mathbb{F}^{int}\} = \{0\}$;

(ii) Pour $e = 1, 2, \dots, N_E$ (boucle sur les éléments) :

(a) Extraire incrément de déplacements nodaux élémentaires $\{\Delta U_{n,e}\}$;

(b) Calculer $[\mathbb{K}_e^{EP}]$ et $\{\mathbb{F}_e^{int}\}$ (**Niveau 3**) ;

(c) Assemblage : $[\mathbb{K}_e^{EP}] \longrightarrow [\mathbb{K}^{EP}]$, $\{\mathbb{F}_e^{\Delta\xi}\} \longrightarrow \{\mathbb{F}^{\Delta\xi}\}$
 $\{\mathbb{F}_e^{int}\} \longrightarrow \{\mathbb{F}^{int}\}$

Le procédé d'assemblage fonctionne comme pour l'élasticité linéaire.

Niveau 3 : contraintes et variables internes sur un élément, matrice tangente et forces nodales élémentaires

Entrées : $\{\sigma_n\}$ (champ aux points de Gauss), $\{\Delta U_e\}$

Sorties : $[\mathbb{K}_e^{\text{EP}}]$, $\{\mathbb{F}_e^{\text{int}}\}$ (matrices élémentaires)

$\{\sigma_{n+1}\}$, $\{\Delta p\}$, $\{\Delta \underline{\underline{\varepsilon}}\}$ (champs aux points de Gauss)

(i) Initialisation : $[\mathbb{K}_e^{\text{EP}}] = [0]$, $\{\mathbb{F}_e^{\text{int}}\} = \{0\}$;

(ii) Pour $g = 1, 2, \dots, G$ (boucle sur les points de Gauss \underline{a}_g , de poids w_g , de E_e) :

(a) Incrément de déformation : $\{\Delta \varepsilon(\underline{a}_g)\} = [B(\underline{a}_g)]\{\Delta U^e\}$;

(b) Calcul de $\{\sigma_{n+1}(\underline{a}_g)\}$, $\Delta p(\underline{a}_g)$ et $[A^{\text{EP}}(\underline{a}_g)]$ (**Niveau 4**) ;

(c) Contribution du point de Gauss à $[\mathbb{K}_e^{\text{EP}}]$:

$$[\mathbb{K}_e^{\text{EP}}] := [\mathbb{K}_e^{\text{EP}}] + [B(\underline{a}_g)]^T [A^{\text{EP}}(\underline{a}_g)] [B(\underline{a}_g)] J(\underline{a}_g) w_g ;$$

(d) Contribution du point de Gauss à $\{\mathbb{F}_e^{\text{int}}\}$:

$$\{\mathbb{F}_e^{\text{int}}\} := \{\mathbb{F}_e^{\text{int}}\} + [B(\underline{a}_g)]^T \{\sigma_{n+1}(\underline{a}_g)\} J(\underline{a}_g) w_g$$

Algorithme 4 : contraintes, modules tangents, variables internes

(a) Évaluer $\underline{\underline{s}}^{\text{elas}} = \underline{\underline{s}}_n + 2\mu\mathcal{K}:\Delta\underline{\underline{\varepsilon}}$ (prédicteur élastique) et $\sigma^{\text{elas,eq}} = \sqrt{\frac{3}{2}}\|\underline{\underline{s}}^{\text{elas}}\|$;

(b) Calculer $f^{\text{elas}} = f(\underline{\underline{\sigma}}_{n+1}^{\text{elas}}, p_n) = \sigma^{\text{elas,eq}} - R(p_n)$. Deux cas :

► Si $f^{\text{elas}} \leq 0$, **évolution élastique** :

$$\boxed{\begin{aligned} \underline{\underline{\sigma}}_{n+1} &= 3\kappa\text{Tr}(\Delta\underline{\underline{\varepsilon}})\underline{\underline{1}} + \underline{\underline{s}}^{\text{elas}}, \\ \Delta\underline{\underline{\varepsilon}}^{\text{P}} &= \underline{\underline{0}}, \quad \mathcal{A}^{\text{EP}} = \mathcal{A} \end{aligned}} ;$$

► Si $f^{\text{elas}} > 0$, **évolution élastoplastique** :

(i) Résoudre par rapport à Δp : $\sigma^{\text{elas,eq}} - 3\mu\Delta p - R(p_n + \Delta p) = 0$;

(ii) Evaluer les constantes β, γ : $\beta = \frac{3\mu\Delta p}{\sigma^{\text{elas,eq}}}$ $\gamma = \frac{3\mu}{3\mu + R'(p_n + \Delta p)}$;

(iii) Actualiser $\underline{\underline{\sigma}}$ et $\underline{\underline{\varepsilon}}^{\text{P}}$:

$$\boxed{\begin{aligned} \underline{\underline{\sigma}}_{n+1} &= (1 - \beta)\underline{\underline{s}}^{\text{elas}} + \kappa\text{Tr}(\Delta\underline{\underline{\varepsilon}})\underline{\underline{1}} \\ \Delta\underline{\underline{\varepsilon}}^{\text{P}} &= (\beta/2\mu)\underline{\underline{s}}^{\text{elas}} \end{aligned}} ;$$

(iv) Former le tenseur des modules tangents élastoplastiques \mathcal{A}^{EP} :

$$\boxed{\mathcal{A}^{\text{EP}} = \mathcal{A} - 3\mu(\gamma - \beta) \left(\frac{\underline{\underline{s}}^{\text{elas}}}{\sigma^{\text{elas,eq}}} \otimes \frac{\underline{\underline{s}}^{\text{elas}}}{\sigma^{\text{elas,eq}}} \right) - 2\mu\beta\mathcal{K} .}$$

Plan

1. Stratégie de résolution numérique

2. Méthode de Newton avec opérateur tangent cohérent

Calcul de l'opérateur tangent local

Calcul de l'opérateur tangent global

Algorithme pour le calcul d'une structure élastoplastique

Difficultés liées à l'incompressibilité plastique

3. Méthode de Newton modifiée avec direction constante

4. Exemple 1 : illustration des algorithmes

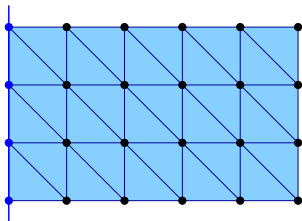
5. Exemple 2 : prototype de collecteur d'échappement

Difficultés liées à l'incompressibilité (plastique)

- ▶ Modèles de plasticité courants : $\text{Tr}(\underline{\underline{\varepsilon}}^P) = 0$ (incompressibilité plastique).
- ▶ Chargements élevés : $\underline{\underline{\varepsilon}}$ dominée par la partie plastique $\underline{\underline{\varepsilon}}^P$ (en particulier si $R'(p) = 0$, i.e. plasticité parfaite)
- ▶ **Le traitement numérique de l'incompressibilité présente des difficultés**

Exemple : déformations planes, éléments triangulaires linéaires :

- ▶ N_E éléments, $N_N = N_N^I + N_N^\xi + N_N^T$ noeuds, $N = 2(N_N^I + N_N^T)$ DDLs inconnus ;
- ▶ Formule d'Euler, **pour ce type d'élément fini** : $N_E = 2N_N^I + N_N^\xi + N_N^T - 1$;
- ▶ $\underline{\underline{\varepsilon}}$ constant par élément, donc N_E **liaisons d'incompressibilité** ;
- ▶ Il reste $N^{\text{incomp}} = N - N_E = N_N^T - N_N^\xi + 1$ inconnues effectives



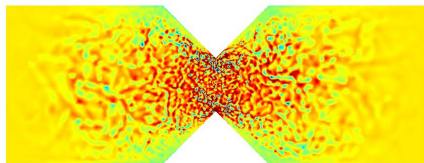
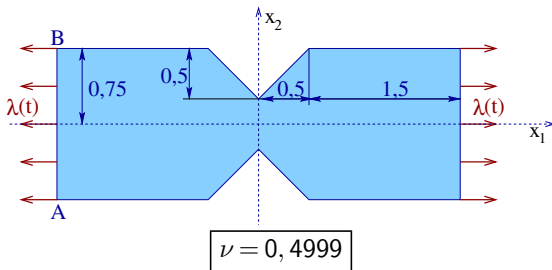
$N^{\text{incomp}} \leq 0$ est possible (verrouillage)

$$N_E = 30$$

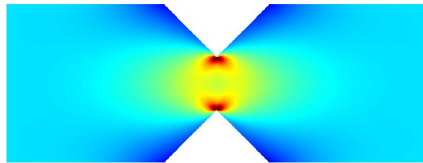
$$N_N^I = 8, \quad N_N^\xi = 4, \quad N_N^T = 12$$

$$N^{\text{incomp}} = 10$$

Difficultés liées à l'incompressibilité : illustration (en élasticité)



(T3)



(T6)

Plan

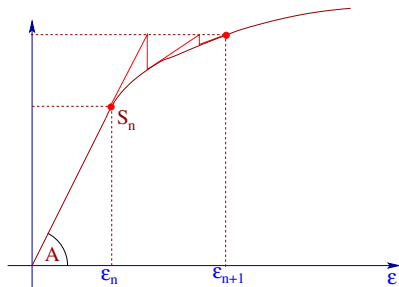
1. Stratégie de résolution numérique
2. Méthode de Newton avec opérateur tangent cohérent
 - Calcul de l'opérateur tangent local
 - Calcul de l'opérateur tangent global
 - Algorithme pour le calcul d'une structure élastoplastique
 - Difficultés liées à l'incompressibilité plastique
- 3. Méthode de Newton modifiée avec direction constante**
4. Exemple 1 : illustration des algorithmes
5. Exemple 2 : prototype de collecteur d'échappement

Méthode de Newton modifiée avec direction constante

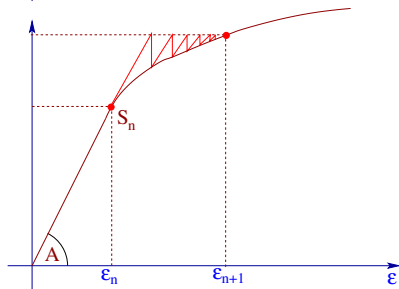
- ▶ Matrice tangente cohérente $[\mathbb{K}^{EP}]$ remplacée par une matrice **constante** $[\hat{\mathbb{K}}]$
Exemple : $[\hat{\mathbb{K}}] = [\mathbb{K}]$
- ▶ **Avantage** : simplification, réduction du temps de calcul consommé par itération
- ▶ **Inconvénient** : perte de la convergence quadratique de la méthode de Newton

Description de cette variante simplifiée d'algorithme élasto-plastique : cf. livre.

Interprétation



$[\mathbb{K}^{EP}]$ (cohérent)

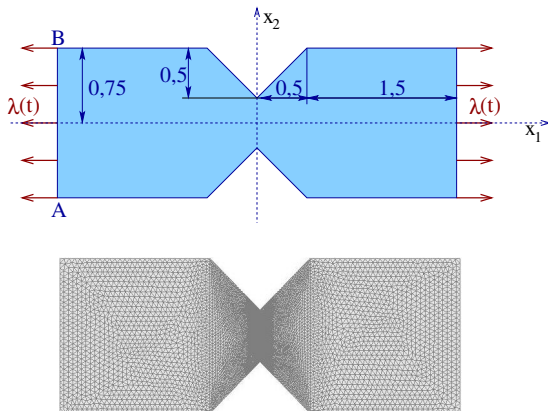


$[\hat{\mathbb{K}}]$ (constant)

Plan

1. Stratégie de résolution numérique
2. Méthode de Newton avec opérateur tangent cohérent
 - Calcul de l'opérateur tangent local
 - Calcul de l'opérateur tangent global
 - Algorithme pour le calcul d'une structure élastoplastique
 - Difficultés liées à l'incompressibilité plastique
3. Méthode de Newton modifiée avec direction constante
- 4. Exemple 1 : illustration des algorithmes**
5. Exemple 2 : prototype de collecteur d'échappement

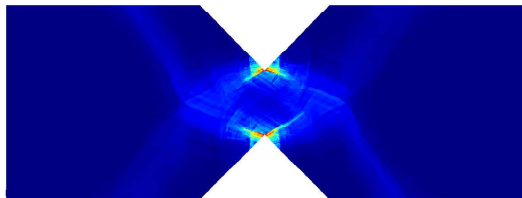
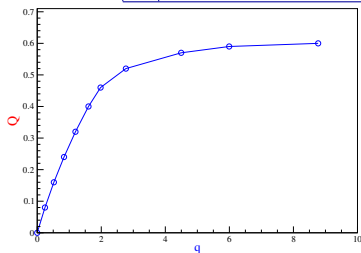
Exemple 1 : illustration des algorithmes



- ▶ Déformations planes
- ▶ Maillage : 8792 noeuds,
17150 éléments
- ▶ Comportement :
 $R(p) = \sigma_0 + hp$,
 $\sigma_0 = 0,88E$,
 $\nu = 0,3$,
 $h = 0$ ou $h = 0,05E$
- ▶ Liaisons :
 $\xi_1(A) = \xi_2(A) = \xi_1(B) = 0$
 (blocage des mvts. rigides)

(i) Matériau élastique – parfaitement plastique ($h = 0$)

| | | | | | | | | | | | |
|-----|---|------|------|------|------|------|------|------|------|------|-----|
| n | 0 | 1 | 2 | 3 | 4 | 5 | 6 | 7 | 8 | 9 | 10 |
| Q | 0 | 0,08 | 0,16 | 0,24 | 0,32 | 0,40 | 0,46 | 0,52 | 0,57 | 0,59 | 0,6 |



| n | 1 | 2 | 3 | 4 | 5 | 6 | 7 | 8 | 9 | 10 |
|---|---|----|----|-----|-----|-----|-----|------|------|------|
| (a) $[\mathbb{K}^{EP}]$ | 1 | 4 | 4 | 4 | 4 | 5 | 6 | 7 | 8 | 8 |
| (b) $[\hat{\mathbb{K}}] = [\mathbb{K}_{n+1}^1]$ | 1 | 18 | 25 | 40 | 46 | 74 | 120 | 147 | 79 | 190 |
| (c) $[\hat{\mathbb{K}}] = [\mathbb{K}]$ | 1 | 18 | 44 | 109 | 227 | 380 | 821 | 1259 | 1396 | 3639 |

Nombre d'itérations pour chaque pas de temps : méthode de Newton utilisant

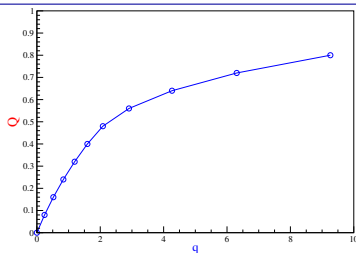
(a) la matrice tangente cohérente

(b) à chaque pas de temps, la matrice tangente élastoplastique à la première itération

(c) la matrice de rigidité élastique.

(ii) Matériau élastoplastique avec écrouissage ($h = 0,05E$)

| | | | | | | | | | | | |
|-----|---|------|------|------|------|------|------|------|------|------|-----|
| n | 0 | 1 | 2 | 3 | 4 | 5 | 6 | 7 | 8 | 9 | 10 |
| Q | 0 | 0,08 | 0,16 | 0,24 | 0,32 | 0,40 | 0,48 | 0,56 | 0,64 | 0,72 | 0,8 |



| | | | | | | | | | | |
|---|---|----|----|----|----|----|-----|-----|-----|-----|
| n | 1 | 2 | 3 | 4 | 5 | 6 | 7 | 8 | 9 | 10 |
| (a) $[\mathbb{K}^{EP}]$ | 1 | 3 | 3 | 3 | 4 | 5 | 5 | 5 | 5 | 5 |
| (b) $[\hat{\mathbb{K}}] = [\mathbb{K}_{n+1}^1]$ | 1 | 16 | 18 | 23 | 27 | 40 | 74 | 70 | 44 | 52 |
| (c) $[\hat{\mathbb{K}}] = [\mathbb{K}]$ | 1 | 16 | 34 | 54 | 59 | 80 | 102 | 113 | 128 | 147 |

Nombre d'itérations pour chaque pas de temps : méthode de Newton utilisant

(a) la matrice tangente cohérente

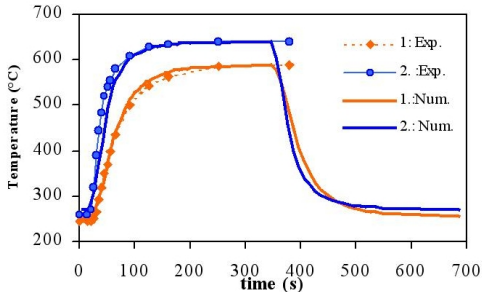
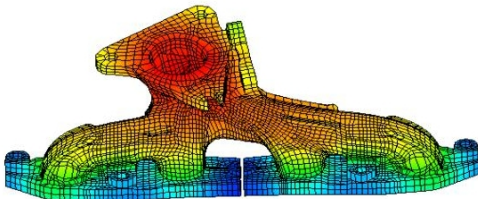
(b) à chaque pas de temps, la matrice tangente élastoplastique à la première itération

(c) la matrice de rigidité élastique.

Plan

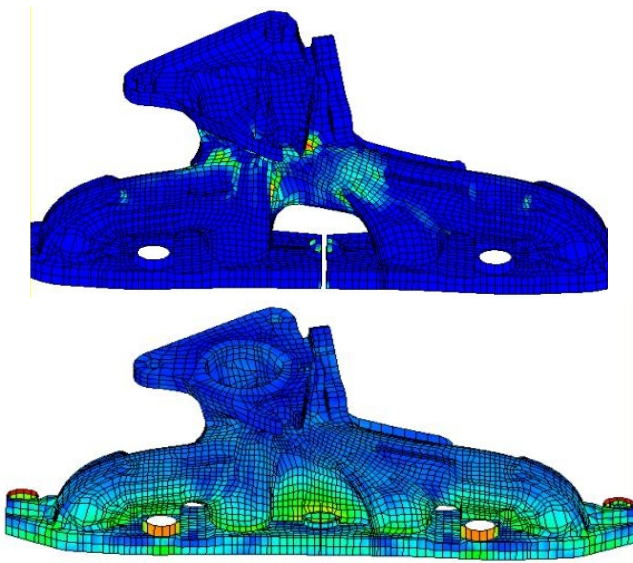
1. Stratégie de résolution numérique
2. Méthode de Newton avec opérateur tangent cohérent
 - Calcul de l'opérateur tangent local
 - Calcul de l'opérateur tangent global
 - Algorithme pour le calcul d'une structure élastoplastique
 - Difficultés liées à l'incompressibilité plastique
3. Méthode de Newton modifiée avec direction constante
4. Exemple 1 : illustration des algorithmes
- 5. Exemple 2 : prototype de collecteur d'échappement**

Exemple 2 : prototype de collecteur d'échappement

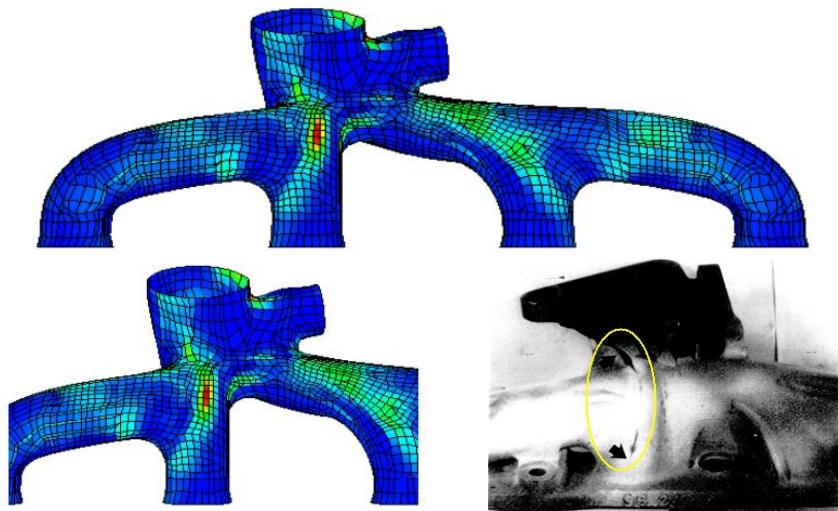


Etude PSA / LMS / LML Lille (Constantinescu, Charkaluk, Lederer, Verger 2004)

- ▶ Ecoulement gaz d'échappement chauds
 - température élevée
 - réponse thermomécanique **élastoplastique**
- ▶ Cycles thermiques démarrage / fonctionnement / arrêt
 - fatigue
 - durée de vie (N_{rupt} cycles)
- ▶ Etat élastoplastique se stabilise après $N_{stab} < N_{rupt}$ cycles
- ▶ N_{rupt} estimé par critère de fatigue fonction de l'état élastoplastique stabilisé à N_{stab} cycles



Champs de déformation plastique cumulée (haut) et de contrainte équivalente de von Mises (bas) obtenus une fois l'état stabilisé atteint.



Prototype de collecteur d'échappement : distribution du critère de fatigue calculé à l'aide des champs élastoplastiques (haut et gauche), rupture observée expérimentalement sur le prototype (droite).

Conclusion amphis 6 et 7

- ▶ Calcul élastoplastique d'une structure : combinaison **itérative** de :
 - **Etape locale** :
intégration du comportement élastoplastique sur un pas de temps (amphi 6)
 - **Procédure globale** :
incorporation dans les équations (faibles) d'équilibre et résolution (amphi 7)
- Présentation restreinte au modèle élastoplastique défini par
(von Mises + écrouissage isotrope + règle de normalité)
- ▶ Formulation **implicite** de l'intégration en temps discret
 - ▶ Intégration locale par l'**algorithme de retour radial**
 - ▶ Erreur d'intégration en temps discret : **Ecart à la radialité**
 - ▶ Notion d'**opérateur tangent cohérent local** $\mathcal{A}^{\text{EP}}(\Delta \underline{\varepsilon}_n, \mathcal{S})$
 - ▶ Notion de **matrice tangente cohérente** permettant la mise en oeuvre de la méthode de Newton
 - ▶ **Intégration locale + opérateur tangent cohérent** :
cadre applicable à de nombreux autres modèles de comportement.

www.lms.polytechnique.fr/users/bonnet/enseignement.html